

発表論文 Jonathan Lam, Yi-Zhuang You

"Machine Learning Statistical Gravity
from Multi-Region Entanglement Entropy"

arXiv: 2110.01115 (hep-th)

元にした論文 Yi-Zhuang You, Zhao Yang, Xiao-Liang Qi

"Machine Learning Spatial Geometry
from Entanglement Features"

arXiv: 1709.01223 (cond-mat.dis-nn)

目次

§1. 動機: AdS/CFT と bulk reconstruction

§2. この論文の内容と結果.

§3. 機械学習とボルツマンマシン. (令野 review)

§4. ネットワークと物性物理. (令野 review)

§5. この論文のモデル構築法.

- 自由フェルミオン系との対応
- 2nd Renyi entropy の計算法

§1. 要諦: AdS/CFT と bulk reconstruction

AdS/CFT 対応. (Maldacena, hep-th/9711200)

Witten, hep-th/9803131

Gubser, Klebanov, Polyakov hep-th/9802109)

CFT側

重力側.

$$\int \mathcal{D}\phi e^{-S_{\text{CFT}}[\phi]} - \int J(x) \mathcal{O}[\phi] = \int \mathcal{D}g \mathcal{D}\Phi e^{-S_{\text{grav}}[g, \Phi]}$$

$$\left(\mathcal{O}[\phi] \leftrightarrow \Phi \quad \Phi(r=\infty) \sim J(x). \right)$$

↓ large N

↓ 古典極限

large N
Generating
Functional

$$= \int \mathcal{D}\Phi e^{-S_{\text{grav}}[\hat{g}, \Phi]}$$

\hat{g} : 古典背景

or $e^{-S_{\text{grav}}[\hat{g}, \tilde{\Phi}]}$

$\tilde{\Phi}$: 古典解.

例: $S_{\text{CFT}} = S_{N=4 \text{ SYM}}$, $S_{\text{grav}} = S_{\text{IIB SUGRA}}$, 解 $AdS_5 \times S^5$
(量子TFS IIB string)

- 通常, AdS/CFTの check には, 重力側から start して, 古典背景時空を解いたりして, それを CFT側の予言とする。
(例: holographic QCD)
- 一方, CFTやQFTを与えて, 重力側を構築することと bulk reconstruction と同じ

Reconstruction methods

- bulk の EOM を 解く (例. holographic renormalization)
- bulk の extremal surface からの geometry を 解く
(例. Entanglement entropy, Correlator,
Wilson loop, Complexity)
- Machine learning. --- この論文.
加えて. 以下の論文 1802.08313
1809.10536
1903.04951
⋮

§2 この論文の内容と結果

1) L 個の qubit 系の ground state を考える.

$$|\psi\rangle = \sum_{s_i} \psi(s_1, \dots, s_L) |s_1, \dots, s_L\rangle$$

$$H = - \sum_{i=1}^L i u_i \chi_i \chi_{i+1}$$

$$u_i = 1 + m(-1)^i$$

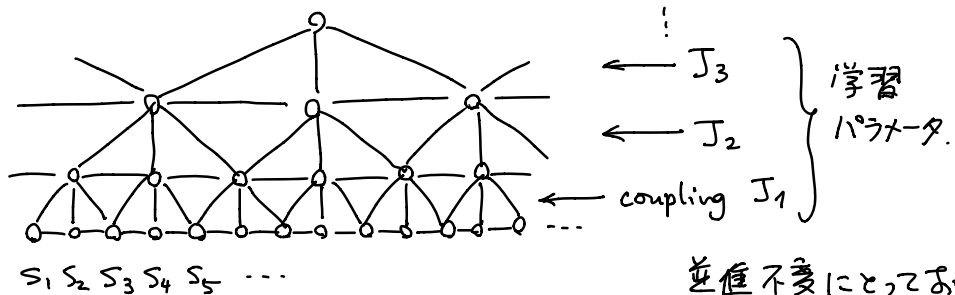
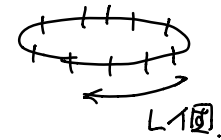
χ_i : Majorana fermion

注) Jordan-Wigner 変換を用いて fermion に直した.

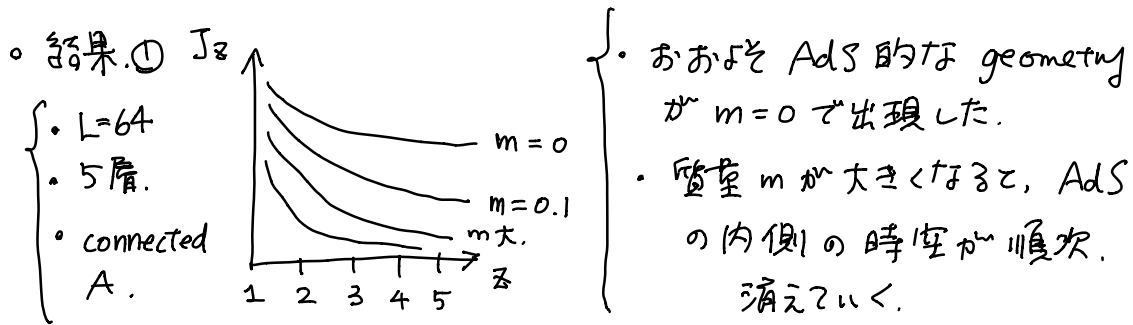
2) 領域 A と \bar{A} に分けて, 2nd Renyi entropy $S_E^{(2)}(A)$ の data を集める.

3) その data を再現できるような 深層 ボリマンマシンを学習.

1次元 spin chain.



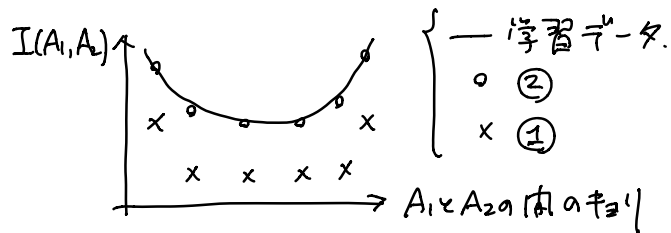
- ① そのまま J_z ($z=1, 2, 3, \dots$) を学習 arXiv: 1709.01223
- ② $P[J_z]$ (J の確率分布) を学習 arXiv: 2110.01115



⇒ AdS/CFT と consistent.

ただし mutual information $I(A_1, A_2) = S(A) + S(A_2) - S(A \cup A_2)$ は合わない.

○ 結果② mutual information を学習可能.

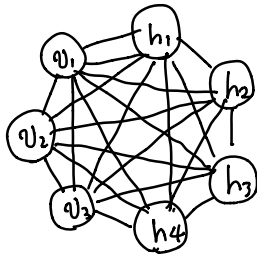


注) ① と異なり dual Ising model (= bulk 理論),

S_E を bulk scalar theory の correlator で評価している.

§3 機械学習とボルツマンマシン

① ボルツマンマシン: 確率分布を学習するマシン (プログラム)



$$\begin{cases} v_i : \text{visible unit} & v_i = \pm 1 \\ h_i : \text{hidden unit} & h_i = \pm 1 \end{cases}$$

出力 $P_J(v_1, v_2, v_3) = \sum_{\{h_i\}} \exp(-\mathcal{E}(v_i, h_j))$

$$\mathcal{E}(v_i, h_j) \equiv \sum_{i,j} J_{ij} v_i v_j + \sum_{i,j} \tilde{J}_{ij} v_i h_j + \sum \tilde{\tilde{J}}_{ij} h_i h_j$$

$J_{ij}, \tilde{J}_{ij}, \tilde{\tilde{J}}_{ij}$: 学習パラメータ.

この関数 P_J は確率分布を表す.

入力: (v_1, v_2, v_3) 出力: $P_J(v_1, v_2, v_3)$ ((v_1, v_2, v_3) が発生する「確率」)
 ↑ パラメータに依存

学習方法

1) 実験値 (v_1, v_2, v_3, P_{ex}) の set をたくさん用意する

2) $P_{ex}(v_1, v_2, v_3)$ に $P_J(v_1, v_2, v_3)$ に近くなるように

J を変更する (「学習」)

"Relative entropy"

"Kullback-Leibler divergence"

誤差関数 $E \equiv D_{KL}(P_{ex} \parallel P_J)$

$$\equiv \sum_{v_i} (P_{ex} \log P_{ex} - P_{ex} \log P_J)$$

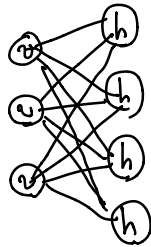
- { 注) $E \geq 0$ を示すことが出来る.
- { 注) $E = 0 \iff P_{ex} = P_J$.

・学習は steepest - descent を用いる。

$$J_{\text{new}} = J_{\text{old}} - \epsilon \left. \frac{\partial E}{\partial J} \right|_{J_{\text{old}}}$$

ϵ : 学習の速さを制御するパラメタ。

・学習をうまくやるために network を修正する方法がある。

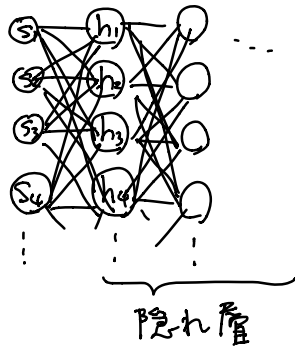


制限ボルツマンマシン。

② ボルツマンマシンの物性物理への応用

Carleo, Troyer (2017)

$$\left. \begin{aligned} \psi(s_1, s_2, \dots, s_L) &= P_J(s_1, \dots, s_L) \\ \text{誤差関数} &= \langle \psi | \hat{H} | \psi \rangle \end{aligned} \right\} \text{これ } J \text{ を学習.}$$



- ・隠れ層の数を多くしていくと基底状態のエネルギーが下がる
 - ・従来の tensor network よりエネルギーが下がる。
- (2次元 Ising ハミルトニアン強磁性模型)

・物理解釈 (今田 et al 2018)

隠れ層方向を Euclidean time と考え、bond (weight) を Hamiltonian の時間発展と考えると。

$$|\psi\rangle_{\text{ground state}} = \lim_{\tau \rightarrow \infty} e^{-\tau H} |any\rangle$$

§4 ネットワークと物性物理

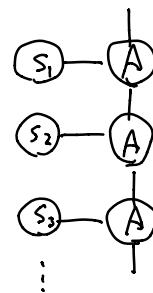
1) 二次元ネットワーク:

多体 H の Schrödinger 方程式を解くための ansatz

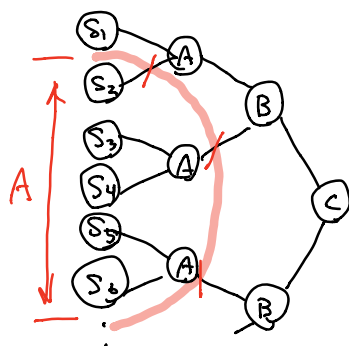
• Matrix product state

$$\psi(s_1, \dots, s_L) = \text{Tr} (A^{(s_1)} A^{(s_2)} \dots A^{(s_L)})$$

A : $D \times D$ matrix
 D : bond dim.



• Tensor network state



$$\psi(s_1, \dots, s_L)$$

$$= C_{ij} B_{ikl} B_{jmn}$$

$$A_{ks_1s_2} A_{ls_2s_3} A_{ms_3s_4} \dots$$

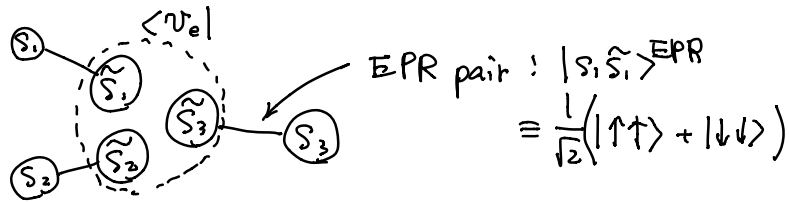
この時、entanglement entropy は 領域 A の
 長さ Y_A により $S_E \sim \log Y_A$ と与えられる。
 これは領域の端と端をなす線が
 tensor net を何回切るかによって決まる。
 (線一本 \sim EPR pair)

(matrix product state の時は Y_A にはよらない)

* AdS/CFT との関係 (Swingle, 2010)

$A = B = C$ とする時、network は hyperbolic
 space の 離散幾何。 = AdS の time slice

• Random tensor network. (RTN)



$$\psi(S_1, S_2, S_3) = \langle \psi_e | \left(|S_1 \tilde{S}_1\rangle^{EPR} \otimes |S_2 \tilde{S}_2\rangle^{EPR} \otimes |S_3 \tilde{S}_3\rangle^{EPR} \right)$$

$\langle \tilde{S}_1 | \otimes \langle \tilde{S}_2 | \otimes \langle \tilde{S}_3 |$ の基底上の状態

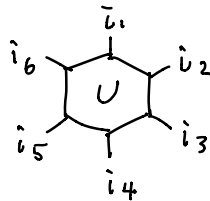
• このように tensor network を定める時.

RTN とは $\langle \psi_e |$ と U random な状態をとって
 平均を取る. (それについて和をとることをしてもよい)

• ことわりた理由!

random tensor は おおよそ 完全 tensor の
 性質を兼ねるから、AdS/CFT の toy model にたつ.

注) 完全 tensor の定義



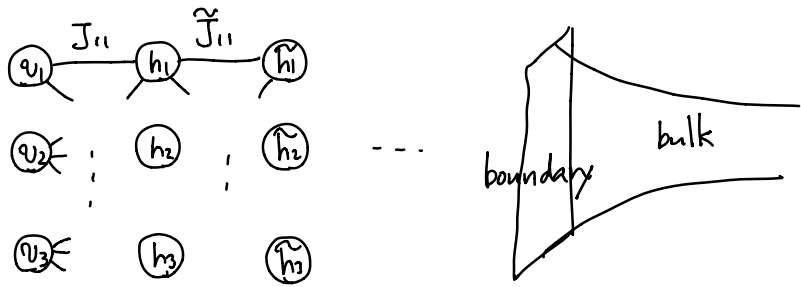
$i_1 \sim i_6$ を 3つの入力と3つの出力
 に任意に分けた時 U が
 コネクト.

注) HAPPY code (1503.06237): 完全 tensor で
 bulk の情報と boundary の情報を等価にする.

• ランダムネスについて和をとる \cong bulk で経路積分可.

$\langle \psi_e |$ が bulk の場と考えることが出来る.

2) AdS/CFT と ポリマーマシンの関係.



ポリマーマシン \leftrightarrow AdS/CFT

$$P_J(v_i) \equiv \sum_{\{h_i\}} e^{-\mathcal{E}(v_i, h_i; J)} \leftrightarrow Z_{\text{bulk}}(\phi(r=\infty)) \equiv \int \mathcal{D}\phi e^{-S_{\text{grav}}(\phi; g)}$$

背景 g は fix.

J も重みをつける

$$P(v) \equiv \int dJ P_J(v_i) P[J] \leftrightarrow Z_{\text{bulk}} \equiv \int \mathcal{D}g \mathcal{D}\phi e^{-S_{\text{Einstein}} - S(\phi; g)}$$

背景 g も積分.

こゝで $\mathcal{E}(v_i, h_i; J)$ と $S_{\text{grav}}(\phi; g)$ は
全く同じ g とおける対応をつけることもできる.

(拙著 1903.04951)

§5. この論文のモデル構築法

① AdS/CFT としての CFT 側は mass m を持つ $1+1$ 次元の Majorana fermion を lattice に乗せた自由理論を考える。

$$H = - \sum_{i=1}^L i (1 + m(-1)^i) \chi_i \chi_{i+1} \quad \left\{ \begin{array}{l} \chi_i: \text{Majorana fermion} \\ m: \text{fermion mass.} \end{array} \right.$$

$$\{\chi_i, \chi_j\} = \delta_{ij}$$

この理論は $m=0$ が相転移点であり gapless になることが知られている。(2次相転移, 量子臨界点)

(\Rightarrow AdS/CFT を考えるためのよい模型の候補.)

理由 1次元 spin chain 系 ("横磁場 Ising 模型")

$$H = -J \sum_k \sigma_y^{(k)} \sigma_y^{(k+1)} - K \sum_k \sigma_z^{(k)}$$

ここで, fermion χ の map を考える (Jordan-Wigner transf.):

$$\begin{cases} \chi_{2k-1} \equiv \sigma_z^{(1)} \dots \sigma_z^{(k-1)} \sigma_y^{(k)} \\ \chi_{2k} \equiv \sigma_z^{(1)} \dots \sigma_z^{(k-1)} \sigma_x^{(k)} \end{cases}$$

するとこれは Majorana fermion の $\{\chi_i, \chi_j\} = 2\delta_{ij}$ を満たす。

Hamiltonian は ("Kitaev spin chain")

$$H = -K \sum_k i \chi_{2k-1} \chi_{2k} - J \sum_k i \chi_{2k} \chi_{2k+1}$$

この $K = 1+m$, $J = 1-m$ と置いたものが上の式。

一方この横磁場 Ising 系は $K=J$ が相転移点であった。

$$\begin{cases} J < K: \text{1つの基底状態} \\ J > K: \sigma_y = \pm 1 \text{ の 2つの強磁性基底状態} // \end{cases}$$

注) スピinless 超伝導体 としての解釈もある.

Majorana と考えるより 通常の fermion に直した方が分かり易い。

$$\chi_{2k-1} \equiv c_k + c_k^\dagger, \quad \chi_{2k} \equiv i(c_k - c_k^\dagger) \quad \text{とおく}$$

c_k は通常の fermion で, $\{c_k, c_{k'}^\dagger\} = \delta_{kk'}$ を満たす。

この時.

$$\begin{aligned} H &= K \sum_k (c_k + c_k^\dagger)(c_k - c_k^\dagger) \\ &\quad + J \sum_k (c_k - c_k^\dagger)(c_{k+1} + c_{k+1}^\dagger) \\ &= J \sum_k (c_k c_{k+1}^\dagger + c_{k+1} c_k^\dagger) \quad \leftarrow \text{Hopping term.} \\ &\quad + J \sum_k (c_k c_{k+1} - c_k^\dagger c_{k+1}^\dagger) \quad \leftarrow \text{超伝導 pairing term} \\ &\quad + K \sum_k (2c_k^\dagger c_k - 1). \quad \leftarrow \text{化学 potential.} \end{aligned}$$

つまり. スピinless の (p波) 超伝導体 となる。

補足) この Majorana chain は Kitaev 模型 と呼ばれ, トポロジカル 物質の典型例である。

∴ 一次元 chain に 端 があるとすると



$K=0$ の時, χ_1 と χ_{2L} は他と decouple \Rightarrow 端状態あり

(実際. $K < J$ なら 端状態あり 基底状態が
 そのため縮退する \Rightarrow と示される. $K > J$ なら
 χ_1 も χ_{2L} は他とよく couple \Rightarrow 端状態は存在しない.

② 2nd-Renyi Entropy の計算法

(2nd Renyi を τ - τ とする際に, spin 系だとよい方法がある。
 これを用いて, bulk を含めた Boltzmann machine に map してやる。)

• 定理, 重要な事実:

spin 系において 2-nd Renyi entropy $S_E^{(2)} \equiv \text{Tr}_A \left((\text{Tr}_{\bar{A}} \rho)^2 \right)^{\frac{1}{2}}$

τ と τ_j 「 τ 」 止め spin, τ を追加して τ_j として

$$\tilde{H} = - \sum_{\langle ij \rangle} \sigma_i \sigma_j J_{ij} - h \sum_i \tau_i \sigma_i$$

追加項

$$\tau_i = \begin{cases} +1 & (i \in A) \\ -1 & (i \in \bar{A}) \end{cases}$$

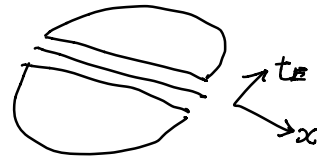
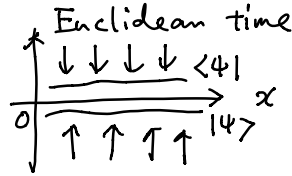
h は $O(1)$ の定数. $\left(\begin{array}{l} \text{長律的には} \\ h = \frac{1}{2} \log D \quad D: \text{各サイト } i \text{ の} \\ \sigma_i \text{ の自由度の数} \end{array} \right)$

において $e^{-S_E^{(2)}} = \underbrace{F_{(A, \bar{A})} - F_{(\bar{A}=\emptyset)}}_{\text{全領域を } A \text{ と考えたもの}}$ と与えられる.

F: 自由エネルギー

(これは
 Random tensor network で表される state について証明される。
 1601.01694 Hayden, Nezami, X.-L. Qi, Thomas, Walter, Yang
 "Holographic duality from Random Tensor Networks")

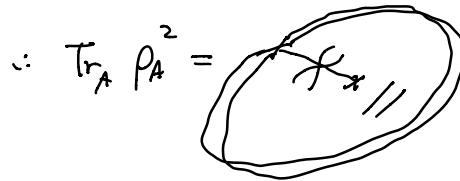
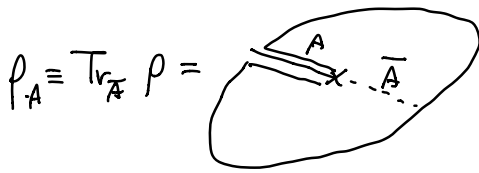
定理の直観的説明. $\rho = |\psi\rangle\langle\psi|$ $|\psi\rangle$: ground state



$$\left(\begin{array}{l} |\psi\rangle = \lim_{t_E \rightarrow \infty} e^{-t_E H} |any\rangle \\ \text{"ground state (E=0) が"} \\ \text{選ばれる} \end{array} \right)$$

$$\begin{aligned} \text{Tr } \rho &= \text{Tr} |\psi\rangle\langle\psi| \\ &= \langle\psi|\psi\rangle = 1. \end{aligned}$$

A と \bar{A} に分けて. $\text{Tr}_A \rho$ を考えよう



A の領域は上下入れ替えてあげる.

... これは実質的に, Hilbert 空間を double copy して.

A の領域に (\uparrow, \uparrow) , \bar{A} の領域に (\uparrow, \downarrow) を

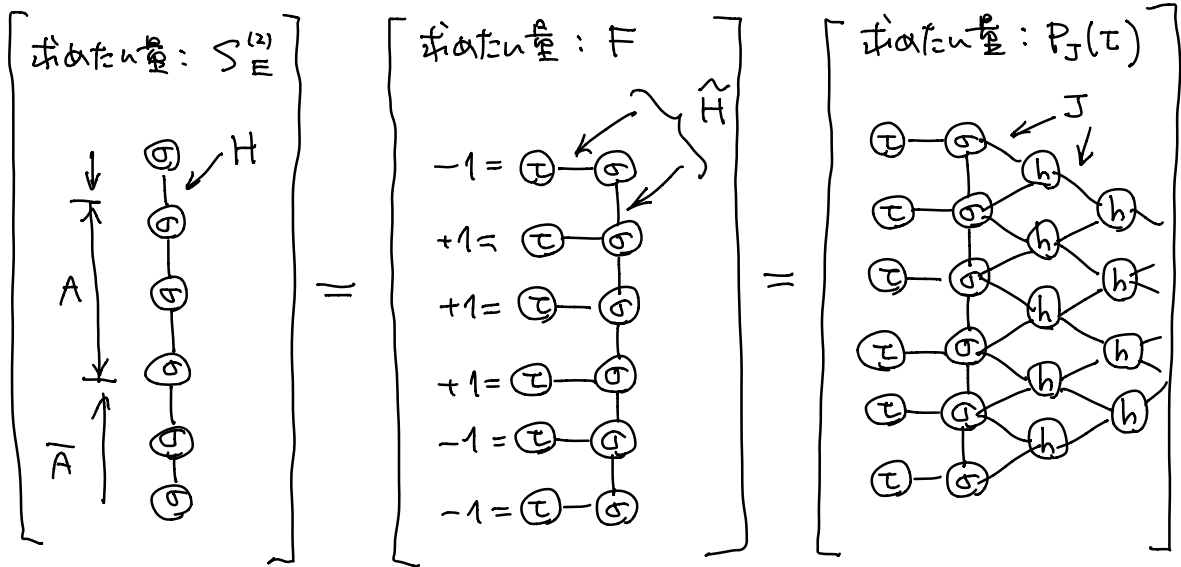
tensor して trace をとると同じように考えられる

(実際は random tensor states について diagrammatic に perturbative に証明する)

$\Rightarrow A$ に σ_1 , \bar{A} に \mathbb{I} .

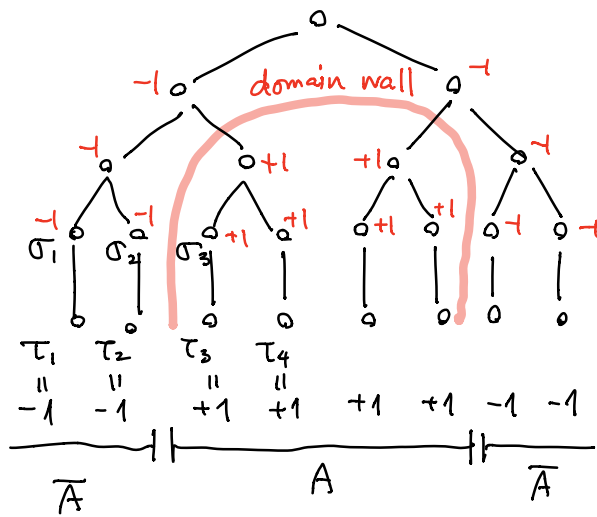
これは, 経路積分の意味では. A と \bar{A} に $+1$ と -1 の spin を挿入することと同じである. //

● この定理を用いて, free fermion 系の $S_E^{(2)}$ は ボリツマンマシンに map できる.



● 定理の意味するところ: Ryu-Takayanagi 公式の重畳的意味

Random tensor network \mathcal{E} . spin 系 と対応した τ と
 与えられた磁気相にある τ とする.



τ spin 系 tensor net
 内部に在り, domain
 \mathcal{E} 形成可能



Domain wall 出現,
 Free energy に 寄与



2nd Renyi に
 RT surface 出現.